

Заміщення в кристалічній структурі та властивості Cu-вмісних складних селенідів

Баглик О.¹, Смітюх О.В.¹, Марчук О.В.¹, Чернюшок О.І.²

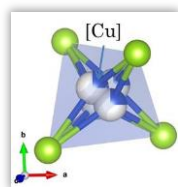
¹Волинський національний університет імені Лесі Українки

²Thermoelectric Research Laboratory, Department of Inorganic Chemistry, Faculty of Materials Science and Ceramics, AGH University of Krakow, Mickiewicza Avenue 30, Krakow, 30-059, Poland
Smitiukh.Oleksandr@vnu.edu.ua

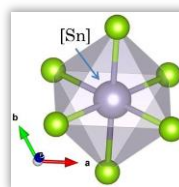
Токсичність таких речовин, як кадмій і телур, а також зростання вартості індію, є однією з причин пошуку нових екологічно безпечних матеріалів. Зокрема, сульфіді та селеніди можуть стати альтернативами відомим термоелектричним матеріалам PbTe та Bi₂Te₃. Наразі вчені активно досліджують такі складні халькогеніди, як Cu₂ZnSnS₄ [1-3], Cu₂CoSnS₄ [4], Cu₂FeSnS₄ та Cu₂NiSnS₄ і ін.

Таблиця 1. Кристалографічні характеристики халькогенідів

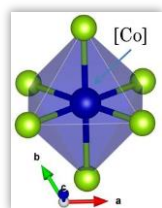
Сполука	Пр.гр.	a, Å	b, Å	c, Å	Література
Cu ₂ Se	<i>Fm-3m</i>	5.8482			[5]
SnSe ₂	<i>P-3m1</i>	3.811	6.136/γ=120°		[6]
CoSe	<i>P6₃mmc</i>	3.62	5.286/ γ=120°		[7]
MnSe	<i>Fm-3m</i>	5.488			[8]
Cu ₂ CoSnSe ₄	<i>I-42m</i>	5.6676	11.3146		[9]
Cu ₂ FeSnSe ₄	<i>I-42m</i>	5.7086	11.2786		[10]
Cu ₂ MnSnSe ₄	<i>I-42m</i>	5.7362	11.4007		[11]
Cu ₂ Co _{0.5} Mn _{0.5} SnSe ₄	<i>I-42m</i>	5.70587	11.4320		ця робота
Cu ₂ Co _{0.5} Fe _{0.5} SnSe ₄	<i>I-42m</i>	5.68796	11.3162		ця робота



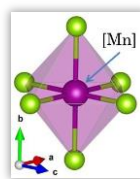
[CuSe₃]
 $\delta_{\text{сер.}}[\text{Cu-Se}] = 2.4189 \text{ \AA}$
 $V = 0.9584 \text{ \AA}^3$
 КЧ_{ефективне} = 3



[SnSe₆]
 $\delta_{\text{сер.}}[\text{Sn-Se}] = 2.6787 \text{ \AA}$
 $V = 25.6231 \text{ \AA}^3$
 КЧ_{ефективне} = 6



[CoSe₆]
 $\delta_{\text{сер.}}[\text{Co-Se}] = 2.4728 \text{ \AA}$
 $V = 19.9965 \text{ \AA}^3$
 КЧ_{ефективне} = 6



[MnSe₆]
 $\delta_{\text{сер.}}[\text{Mn-Se}] = 2.744 \text{ \AA}$
 $V = 27.5481 \text{ \AA}^3$
 КЧ_{ефективне} = 6

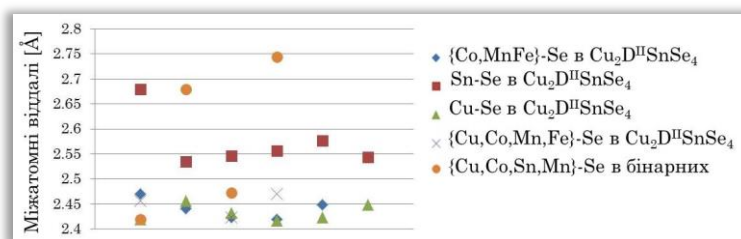
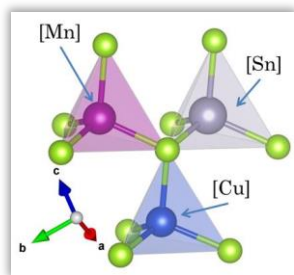
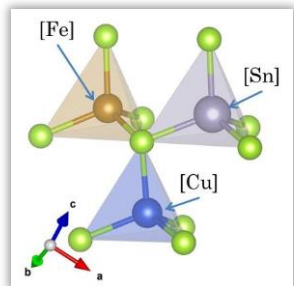


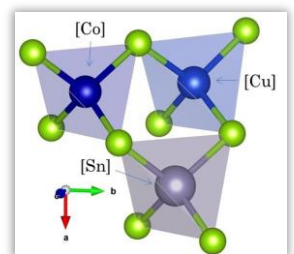
Рис 1. Розподіл міжатомних віддалей у бінарних і складних фазах



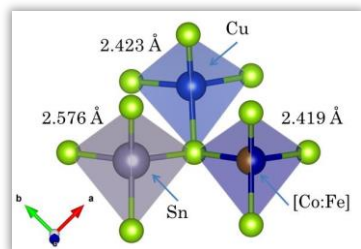
[CuSe₄]	[SnSe₄]	[MnSe₄]
$\delta_{\text{сер.}}[\text{Cu-Se}] = 2.4556 \text{ \AA}$	$\delta_{\text{сер.}}[\text{Sn-Se}] = 2.5348 \text{ \AA}$	$\delta_{\text{сер.}}[\text{Mn-Se}] = 2.4705 \text{ \AA}$
$V = 7.5930 \text{ \AA}^3$	$V = 8.3585 \text{ \AA}^3$	$V = 7.7282 \text{ \AA}^3$
$K\text{Ч}_{\text{ефективне}} = 4$	$K\text{Ч}_{\text{ефективне}} = 4$	$K\text{Ч}_{\text{ефективне}} = 4$



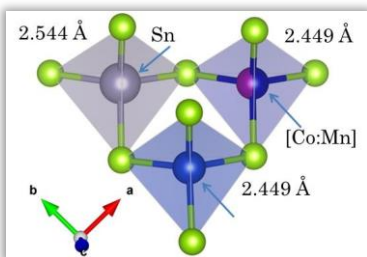
[CuSe₄]	[SnSe₄]	[FeSe₄]
$\delta_{\text{сер.}}[\text{Cu-Se}] = 2.4322 \text{ \AA}$	$\delta_{\text{сер.}}[\text{Sn-Se}] = 2.5466 \text{ \AA}$	$\delta_{\text{сер.}}[\text{Fe-Se}] = 2.4407 \text{ \AA}$
$V = 7.3709 \text{ \AA}^3$	$V = 8.4749 \text{ \AA}^3$	$V = 7.4444 \text{ \AA}^3$
$K\text{Ч}_{\text{ефективне}} = 4$	$K\text{Ч}_{\text{ефективне}} = 4$	$K\text{Ч}_{\text{ефективне}} = 4$



[CuSe₄]	[SnSe₄]	[CoSe₄]
$\delta_{\text{сер.}}[\text{Cu-Se}] = 2.4169 \text{ \AA}$	$\delta_{\text{сер.}}[\text{Sn-Se}] = 2.55599 \text{ \AA}$	$\delta_{\text{сер.}}[\text{Co-Se}] = 2.4233 \text{ \AA}$
$V = 7.2334 \text{ \AA}^3$	$V = 8.6092 \text{ \AA}^3$	$V = 7.2654 \text{ \AA}^3$
$\text{CN}_{\text{ефективне}} = 4$	$\text{CN}_{\text{ефективне}} = 4$	$\text{CN}_{\text{ефективне}} = 4$



[CuSe₄]	[SnSe₄]	[{Co:Fe}Se₄]
$\delta_{\text{сер.}}[\text{Cu-Se}] = 2.4232 \text{ \AA}$	$\delta_{\text{сер.}}[\text{Sn-Se}] = 2.5763 \text{ \AA}$	$\delta_{\text{сер.}}[\text{{Co:Fe}-Se}] = 2.4190 \text{ \AA}$
$V = 7.2880 \text{ \AA}^3$	$V = 8.7755 \text{ \AA}^3$	$V = 7.2246 \text{ \AA}^3$
$K\text{Ч}_{\text{ефективне}} = 4$	$K\text{Ч}_{\text{ефективне}} = 4$	$K\text{Ч}_{\text{ефективне}} = 4$



[CuSe₄]	[SnSe₄]	[{Co:Mn}Se₄]
$\delta_{\text{сер.}}[\text{Cu-Se}] = 2.449 \text{ \AA}$	$\delta_{\text{сер.}}[\text{Sn-Se}] = 2.5437 \text{ \AA}$	$\delta_{\text{сер.}}[\text{{Co:Mn}-Se}] = 2.449 \text{ \AA}$
$V = 7.5343 \text{ \AA}^3$	$V = 8.4464 \text{ \AA}^3$	$V = 7.5216 \text{ \AA}^3$
$K\text{Ч}_{\text{ефективне}} = 4$	$K\text{Ч}_{\text{ефективне}} = 4$	$K\text{Ч}_{\text{ефективне}} = 4$

Метою цієї роботи є аналіз впливу заміщення в кристалічній структурі купрумвмісних селенідів на їх фізико-хімічні характеристики. Це дослідження дозволяє оцінити, як зміни в структурі впливають на стабільність матеріалу, електричну і теплову провідність, а також термодинамічні характеристики, що є важливими для розвитку напівпровідникових технологій і застосувань у каталізі.

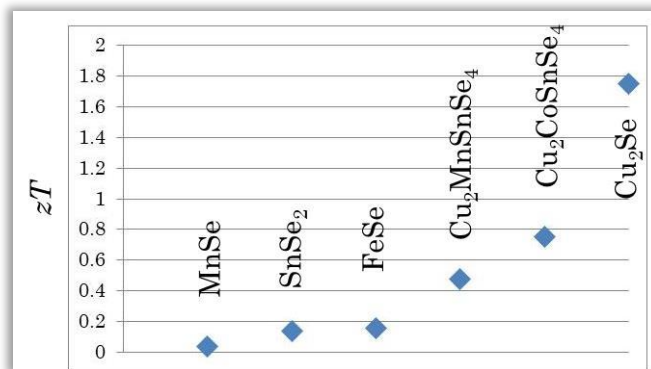


Рис 2. Параметр zT для бінарних та тетрарних фаз (літературні дані)

Контроль катіонного заміщення є важливою стратегією для покращення технологічних властивостей матеріалів, що використовуються в спеціалізованих індустріальних галузях. Це дозволяє значно вдосконалити їх ефективність і забезпечити стабільність в умовах високих навантажень або специфічних експлуатаційних умов. Згідно з отриманими результатами, досліджувані нові фази $\text{Cu}_2\text{Co}_{0.5}\text{Mn}_{0.5}\text{SnSe}_4$ та $\text{Cu}_2\text{Co}_{0.5}\text{Fe}_{0.5}\text{SnSe}_4$ мають потенціал для демонстрації хороших термоелектричних характеристик, що відкриває можливості для їх використання в термоелектричних пристроях і інших технічних застосуваннях. Ця робота сприяє глибшому розумінню того, як варіації в кристалічній структурі, зокрема через катіонне заміщення, можуть суттєво впливати на властивості матеріалів, що в свою чергу допомагає оптимізувати процеси виготовлення високоякісних матеріалів з полішеними експлуатаційними характеристиками.

Список літератури

1. Su, L., & Xu, J. Tailoring the electrical properties of $\text{Cu}_2\text{ZnSnS}_4$ thin film by heterovalent Al^{3+} doping. *Ceramics International*, 49(8), 13167-13175 (2023).
2. Tumbul, A. Improving grain size and surface roughness of chemically derived $\text{Cu}_2\text{CoSnS}_4$ (CCTS) solar absorber material by controlling of Cu/Co ratios. *Ceramics International*, 46(1), 289-296 (2019).
3. Xiao, Z., Luan, H., Liu, R., Yao, B., Li, Y., Ding, Z., Yang, G., Deng, R., Wang, G., Zhang, Z., Zhang, L., & Zhao, H. Behavior of indium alloying with $\text{Cu}_2\text{ZnSn}(\text{S},\text{Se})_4$ and its effect on performances of $\text{Cu}_2\text{ZnSn}(\text{S},\text{Se})_4$ -based solar cell. *Journal of Alloys and Compounds*, 767, 439-447 (2018).
4. Pei, Y., Guo, J., Kou, D., Zhou, W., Zhou, Z., Tian, Q., Meng, Y., & Wu, S. Precise-tuning the In content to achieve high fill factor in hybrid buffer structured $\text{Cu}_2\text{ZnSn}(\text{S},\text{Se})_4$ solar cells. *Solar Energy*, 148, 157-163 (2017).
5. Oliveria M., McMullan R.K., Wuensch, B.J. Single crystal neutron diffraction analysis of the cation distribution in the high-temperature phases $\alpha\text{-Cu}_{2-x}\text{S}$, $\alpha\text{-Cu}_{2-x}\text{Se}$, and $\alpha\text{-Ag}_2\text{Se}$. *Solid State Ionics*, 28, 1332-1337(1988).
6. Liu Huifang, Chang, L.Y. Phase relations in systems of tin chalcogenides. *Journal of Alloys Compd.*, 185(1), 183-190 (1992).
7. Kamat Dalal V.N., Keer H.V., Biswas A.B. Studies on some mixed chalcogenides. *Journal of Applied Physics*, 57, 3244-3246 (1985).
8. Morocoima M., Quintero M., Woolley J.C. T(z) diagram of the $\text{Mn}_{3z}\text{Ga}_{2(1-z)}\text{Se}_3$ system. *Physica Status Solidi, Sectio A: Applied Research*, 141, 53-58(1994).
9. Gulay, L.D., Nazarchuk O.P., Olekseyuk, I.D. Crystal structures of the compounds $\text{Cu}_2\text{CoSi}(\text{Ge},\text{Sn})\text{S}_4$ and $\text{Cu}_2\text{CoGe}(\text{Sn})\text{Se}_4$. *Journal of Alloys Compd.*, 377, 306-311(2004).
10. Henaio J.A., Macias M.A., Quintero M., Moreno E., Morocoima M., Quintero E., Grima P., Tovar R., Bocaranda P. X-ray powder diffraction study for the $\text{Cu}_2\text{Cd}_{1-z}\text{Fe}_z\text{SnSe}_4$ alloy system. *Chalcogenide letters*, 6(11), 583-593(2009).
11. Sachanyuk V.P., Olekseyuk I.D., Parasyuk, O.V. X-ray powder diffraction study of the $\text{Cu}_2\text{Cd}_{1-x}\text{Mn}_x\text{SnSe}_4$ alloys. *Physica Status Solidi A: Applied Research*, 203(3), 459-465 (2006). <https://doi.org/10.1002/pssa.200521349>